

**Ahmet Atasoy****Emre Saka****Abdullah Koşar**

Sakarya University, Sakarya-Turkey

aatasoy@sakarya.edu.tr; emresaka41@gmail.com; aabdullahkosar@gmail.com

<b>DOI</b>	<a href="http://dx.doi.org/10.12739/NWSA.2018.13.3.1A0409">http://dx.doi.org/10.12739/NWSA.2018.13.3.1A0409</a>	
<b>ORCID ID</b>	0000-0003-1564-8793	-
<b>CORRESPONDING AUTHOR</b>		Ahmet Atasoy

**Ti<sub>3</sub>SiC<sub>2</sub> MAX FAZININ ELEMENTEL TOZ KULLANILARAK SENTEZEİ****ÖZ**

MAX seramik ailesinde en dikkat çeken ve üzerinde en fazla araştırma yapılan sistem Ti-Si-C sistemi ve 312 yapısıdır. Ti<sub>3</sub>SiC<sub>2</sub> fazi farklı başlangıç malzemeleri kullanılarak üretilmektedir. Kullanılan malzemelere bağlı olarak, üretim parametreleri ve yöntemleri farklılık göstermektedir. Bu çalışmada, titanyum, silisyum ve karbon kullanılarak, hazırlanan stiokiometrik karışımından yüksek safiyette Ti<sub>3</sub>SiC<sub>2</sub> fazının sentezi çalışılmıştır. Kullanılan başlangıç karışımı ve elde edilen reaksiyon ürünleri SEM, XRD, XRF, TG/DTA gibi analiz yöntemleriyle analiz edilmiştir. Deneysel sonuçlara göre, başlangıç karışımında bulunan silisyum miktarı önemlidir. X-işinları analizi göstermiştir ki; 1350 °C'de ve iki saat sinterleme süresinden sonra yapıda 312 MAX fazı oluşmaktadır. Ortamda bulunan karbon kilit role sahiptir ve fazla karbonun bulunması halinde oluşan MAX fazı, yüksek sıcaklıklarda ikili karbür yapısına dönüştürmektedir.

**Anahtar kelimeler:** MAX Fazı, Seramik Sistemler,  
İşlenebilir Seramikler, Ti<sub>3</sub>SiC<sub>2</sub>, SEM

**SYNTHESIS OF Ti<sub>3</sub>SiC<sub>2</sub> MAX PHASE FROM ELEMENTAL POWDERS****ABSTRACT**

In MAX phase material family, Ti-Si-C system and especially 312 Ti<sub>3</sub>SiC<sub>2</sub> phase is the most attracted and investigated structure. It can be produced from different methods. As expected, each method differs processing methods, experimental conditions and parameters depending on the starting composition. In this article, the processing of high purity Ti<sub>3</sub>SiC<sub>2</sub> phase was studied using Ti, Si and C powders. The powders were mixed in stoichiometric ratio to obtain pure Ti<sub>3</sub>SiC<sub>2</sub> phase. Both of the initial and the obtained product samples were characterised using SEM, XRD, XRF, TG/DTA methods. The results showed that, the silicon content was important and carbon plays critical role. X-ray diffraction analysis showed that the 312 TiSiC phases was formed after the sintering at temperature of 1350 °C for 2 h. If excess carbon is present in the system, the formed MAX phase was converted into binary carbide phases.

**Keywords:** MAX Phase, Ceramic Systems, Machinable Ceramics,  
Ti<sub>3</sub>SiC<sub>2</sub>, SEM

**How to Cite:**

Atasoy, A., Saka, E. ve Koşar, A., (2018). Ti<sub>3</sub>SiC<sub>2</sub> Max Fazının Elementel Toz Kullanılarak Sentezi, **Engineering Sciences (NWSAENS)**, 13(3):156-166,  
DOI: 10.12739/NWSA.2018.13.3.1A0409.



## 1. GİRİŞ (INTRODUCTION)

MAX fazlı malzemeler ailesi çok geniş olup, nitrürlü ve karbürlü sistemleri kapsamaktadır. Bu ifade; yeni nesil işlenebilir, katmanlı seramik malzemeler için kullanılan bir tanımdır. Yapıda, M'yi erken geçiş, A'yı A-grubu, X ise karbon/azot elementlerini temsil etmektedir. Tarihsel gelişme süreci iki aşamada incelenebilir;

- **1996 Öncesi:** Nowotny ve arkadaşları 1960 yıllarda 100 den fazla MAX formunda yeni fazlar keşfetmiştir[1]. Bu fazları tanımlamak için D, E G ve H fazlar gibi alfabetik sıraya göre ifadeler kullanılmıştır.
- **1996 Sonrası:** Barsoum ve El-Ragby,  $Ti_3SiC_2$  fazını saf olarak üretmeyi başarmış ve bu tarihten sonra MAX fazlı seramikler tekrar ilgi odağı olmuştur [2 ve 5]. Bu ekip tarafından yapılan çalışmalarla, MAX fazlı malzemeler, yeni nesil katılar, termodinamik olarak kararlı nano laminantlar olarak tanımlanmıştır.

Bu malzemeler, Tablo 1'de verildiği gibi sistemlerine ve oluşan yapıya bağlı olarak iki farklı grupta incelenmektedir. Malzeme sistemlerine göre, günümüzde, 10'dan fazla MAX sistemleri bulunmaktadır [4, 6 ve 8]. Bu sistemler; Ti-Si-C sistemi, Ti-Al-C sistemi, Ti-Sn-C sistemi, V-Al-C sistemi, V-Cr-Al-C sistemi, Ta-Al-Sn-C sistemi, Nb-Al-C sistemi. Bu sistemlere aşağıda kısaca bahsedilmiştir.

- **Ti-Si-C Sistemi:** MAX fazlı seramikler ailesinde en fazla ilgi çeken ve üzerinde en fazla araştırma yapılan malzemedir. Bunun nedeni 1960'lı yıllarda 100'den fazla keşfedilen fazlardan biri olan  $Ti_3SiC_2$  fazının ilk kez ve yüksek saflıkta elde edilmesinden kaynaklanmaktadır [1 ve 7].
- **Ti-Al-C Sistemi:** Ti-Al-C üçlü sisteminde, yeni nesil seramiklere ait birden fazla MAX fazlı malzeme bulunmaktadır. Bunlar;  $Ti_2AlC$ ,  $Ti_3AlC_2$  ve  $Ti_5Al_2C_3$  malzemeleridir [9 ve 10].
- **Ti-Sn-C Sistemi:** Bu sistemde, 312 yapının ( $Ti_3SnC_2$ ) tespiti Rietveld yöntemi ile gerçekleşmiştir [11]. Bu malzeme çok iyi bir şekilde kristalize olmaktadır ve hacimsel sertlik olarak diğer nitrür ve karbür nano katmanlı malzemelerden daha iyidir, diğer özellikleriyle bu malzeme, yüksek performanslı seramik olduğunu göstermiştir.
- **V-Al-C Sistemi:** 312 yapılı  $V_3AlC_2$  malzemesi, ince film kaplama yöntemi ile keşfedilmiştir [12 ve 13]. Bu yapının yanında,  $V_2AlC$  yapısı ve ince siyah hekzagonal trombosit ve metal parlaklığına sahip olan  $V_4AlC_{2.69}$  yapısı da bulunmaktadır.
- **V-Cr-Al-C Sistemi:** Yeni fazların elde edilmesi için; farklı katı malzemelerin birbiriyle karıştırılması sonucu ortaya çıkan yeni karışımın kullanılması; bir yöntem olarak denenebilir. Cr-Al-C sisteminde, 312 yapısı olmamasına rağmen, V ilavesi ile oluşan karışımın sentezlenmesiyle  $(V_{0.5}Cr_{0.5})_3AlC_2$ ,  $(V_{0.5}Cr_{0.5})_4AlC_3$  ve  $(V_{0.5}Cr_{0.5})_5Al_2C_3$  fazları elde edilmiştir [7 ve 13].
- **Ta-Al-Sn-C Sistemi:** Ta-Al-Sn-C sisteminde,  $Ta_3Al_{0.6}Sn_{0.4}C_2$  fazi sentezlenmiştir [14]. Ta-Al-C sistemindeki tek fazlı  $Ta_3AlC_2$  üretimi mümkündür.
- **Nb-Al-C Sistemi:** Yüksek sıcaklıklarda, farklı oranlarda Nb-Al ve C karışımı sentezlenerek  $Nb_4AlC_3$  fazının elde edilebileceği ispatlanmıştır [15]. Oluşan faz yapısına bağlı olarak, MAX Fazlı malzemeler, beş grupta incelenmektedir. Bunlar, 211, 312, 413, 523, 725. Literatürde, 50 den fazla 211 yapılı MAX fazı bunmasına rağmen, sadece 3 farklı 312 fazlı malzeme bulunmaktadır.

Tablo 1. MAX fazlı malzemelerinin sınıflandırılması  
(Table 1. Classification of MAX-phase materials)

a-Malzeme Sistemleri	b-Stiokiometrik Yapıya Göre				
	ı-211	ıı-312	ııı-413	ıv-523	v-725
1.Ti-Si-C	V <sub>2</sub> AlC	Ti <sub>3</sub> SnC <sub>2</sub>	V <sub>4</sub> AlC <sub>2.69</sub>	Ti <sub>5</sub> Al <sub>2</sub> C <sub>3</sub>	Ti <sub>7</sub> Si <sub>2</sub> C <sub>5</sub>
2.Ti-Al-C	Ti <sub>2</sub> AlC	Ta <sub>3</sub> AlC <sub>2</sub>	Nb <sub>4</sub> AlC <sub>3</sub>	Ti <sub>5</sub> Si <sub>2</sub> C <sub>3</sub>	
3.Ti-Sn-C		Ta <sub>3</sub> Al <sub>0.6</sub> Sn <sub>0.4</sub> C <sub>2</sub>		(V <sub>0.5</sub> Cr <sub>0.5</sub> ) <sub>5</sub>	
4.V-Al-C		V <sub>3</sub> AlC <sub>2</sub>		Al <sub>2</sub> C <sub>3</sub>	
5.V-Cr-Al-C		Ti <sub>3</sub> SiC <sub>2</sub>			
6.Ta-Al-Sn-C		Ti <sub>3</sub> AlC <sub>2</sub>			
....					

Nano katmanlı malzemelerin özellikleyle kombinasyon oluşturmaları nedeniyle, MAX fazlı malzemelerin kullanım alanının potansiyel olarak çok geniş olması beklenmektedir. MAX malzemeleri, serbest toz formunda, yüksek sıcaklık yapısal parçalarının (elektrik kontakları yatakları, ısıtma elementleri, nozul, ısı eşanjörü, kalıplar, darbeye dayanıklı malzemeler) üretiminde çok ilgi çekici bir malzemedir. Aşağıdaki şekilde, MAX malzemelerinden üretilmiş ve ticari markalaşmış ürünler verilmiştir [5]. Ti<sub>3</sub>SiC<sub>2</sub> malzemesinin nükleer reaktörlerde radyasyona dayanıklı kaplama ve elektromanyetik parazit koruyucu malzemesi olarak kullanılabileceği rapor edilmiştir [7]. Potansiyel kullanım alanı olarak düşük sürtünme yüzeyleri, algılayıcılar, mikro elektrokimyasal sistemler için kaplamalar [18] sıralanabilir. Türbin kanatlarına kaplama malzemesi olarak Cr<sub>2</sub>AlC tozu, püskürtme yöntemiyle (Sputter-deposited) kullanılmıştır [5]. MAX malzemelerinin katı hal reaksiyonu ve püskürtme yöntemi ile SiC, AlN veya GaN esaslı yarı iletkenlerde veya sensör uygulamalarında elektrot olarak kullanımı mümkündür [3 ve 4]. Ti<sub>4</sub>AlN ve V<sub>4</sub>AlC<sub>3</sub> uzay mekiği yüzeyini güneş ısınmasından korumak için kaplama malzemesi olarak kullanılmıştır [16].

Benzersiz deformasyon davranışları ile  
MAX malzemeleri;  
-tornalama,  
-frezeleme,  
-delme gibi yöntemlerle işlenebilir,  
Buz gibi kesicidir,  
Pul veya parçanın yerine toz oluşturur,  
Zımparalama ile metallik parlaklık



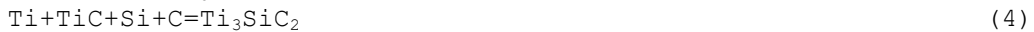
Şekil 1. MAX Malzemeleri, Metaller Gibi İşlenebilir ve Ti Yoğunlu ile Aynı Olmasına Rağmen Dayanımı Ti'dan Üç Kat Daha Fazladır. Resimler, Drexel Üniversitesi'nden Lisansını Alan Kanthal Şirketi'ne Aittir [5] (Figure 1. MAX Materials are machinable as Metals and are three times more resistant than Ti to the same degree as the Ti Concentrate)

Max fazlı malzemelerin üretim yöntemleri MAX fazlı malzemeler, şekillendirilebilir özgüle sahiptir. Bu malzemeler yüksek safiyetteki elementlerin karışımlarından veya karbür-element karışımlarından, farklı üretim yöntemleriyle üretilmektedir. MAX faz ailesinden, projenin de konusu olan Ti<sub>3</sub>SiC<sub>2</sub>sentezi konusunda, elementel

Ti-Si-C/Ti-SiC-C/Ti-TiC-Si gibi farklı başlangıç tozları kullanılmıştır. Hava ile temasının oksitlenmeye yol açması sebebiyle, saf Ti tozunun kullanılabilmesi; prosesin inört ortamda gerçekleşmesini gerektirmektedir. Başlangıç tozlarının hazırlanmasındaki deneysel farklılıkların, nihai faz üzerinde de etkili olduğu rapor edilmiştir. Harmanlama işlemi farklılıklar göstermekle beraber, hazırlanan kompaktlar yüksek sıcaklık ve basınç altında üretilmektedir. Klasik olarak tozların karıştırılması yerine tozların mekanik aktivasyon işlemeye tabii tutulması, nihai ürünlerde farklı fazların oluşmasına neden olmuştur. Yukarıda verilen farklı karışımlardan MAX fazlı ürün ( $Ti_3SiC_2$ ) elde edebilmenin optimum üretim yöntemleri: basınçsız sinterleme, sıcak presleme, sıcak izostatik presleme, spark plazma, SHS veya Yanma sentezi mekanik alaşımlama, vakum ortamında sinterleme ön plana çıkmaktadır [17 ve 19].

## 2. ÇALIŞMANIN ÖNEMİ (RESEARCH SIGNIFICANCE)

Akademik ve endüstriyel uygulamalarda, yeni nesil işlenebilir seramik malzemeler üzerine yoğun çalışmalar gözlemlenmektedir. Bundan dolayı, söz konusu alandaki bilgi birikiminin, ülkemiz üniversiteleri ve akademik camiasına aktarılması ve bu malzemelerin özelliklerinin incelenmesi ve araştırılması amacıyla bugüne kadar yoğun çalışmalar yapılmıştır ve süreç halen devam etmektedir. Yeni nesil seramik grubuna ait 312 yapılı Ti-Si-C sistemini, aşağıdan yukarıya olacak şekilde aşağıda verilen genel reaksiyonlar dikkate alınarak çalışmalar gerçekleştirilemiştir. Çalışmalarda incelenen reaksiyonlar;



Yukarıda verilen karışımların termal davranışları ve 312 MAX fazi oluşumu araştırılmış ve elde edilen sonuçlar paylaşılmıştır. Bu çalışmada ise 6 nolu reaksiyona göre elde edilen sonuçlar sunulmuştur.

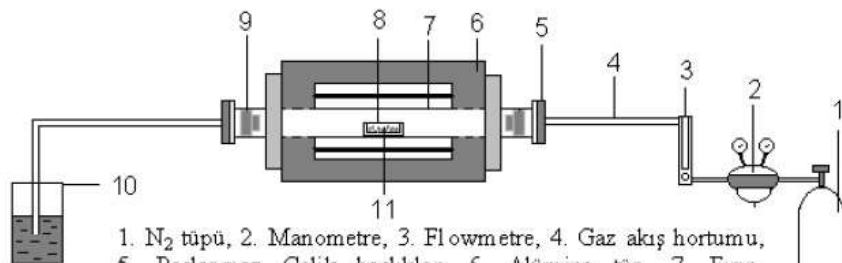
## 3. DENEYSEL ÇALIŞMA (EXPERIMENTAL STUDY)

312 TiSiC yapısını elde etmek amacıyla yüksek safiyette titanyum, silisyum ve grafit tozları temin edilmiştir. Kullanılan tozların özellikleri Tablo 2'de verilmiştir. Nihai ürün olarak  $Ti_3SiC_2$  fazı olacak şekilde, yukarıda verilen genel reaksiyonlardan, reaksiyon 6'ya göre stiokimik oranlarda tozlar karıştırılmıştır.

Tablo 2. Kullanılan malzemelerin özellikleri  
(Table 2. Properties of used materials )

Malzeme	Ergime Noktası (°C)	Yoğunluk (g.cm⁻³)	Tane Boyutu (µm)	Safsızlık Oranı (%)
Titanyum	1668	4.50	5-7	99.9
Silisyum	1412	2.33	2-5	99.5
Grafit	950 (süb.)	0.95	2	93

Temin edilen tozların tane boyutunu ve yüzey alanını artırmak ve homojen karışım elde etmek için, SiC bilyeleri ile 8 saat harmanlama işlemeye tabi tutulmuştur. Hazırlanan karışımlara, Şekil 2'de verilen fırın düzeneğinde farklı sıcaklık ve bekletme sürelerinde, sinterleme işlemi uygulanmıştır.



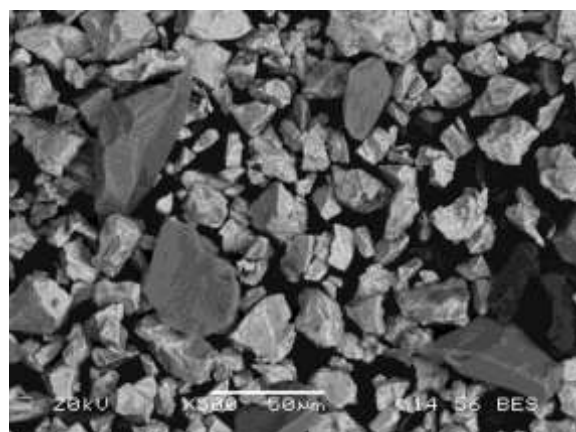
Şekil 2. Çalışmalarda kullanılan deneysel düzenek

(Figure 2. Experimental setup used in studies)

Deneysel çalışmalarında, başlangıç ve sinterlenmiş ürünlerin faz analizleri XRD yöntemi ile belirlenmiştir. Tozların mikro yapıları taramalı elektron mikroskopu (SEM) ile görüntülenmiştir. Numunelerin, kimyasal analizi için EDAX yöntemi kullanılmıştır. Ortamda bulunan ve reaksiyon sırasında oluşabilecek gazları minimize etmek ve inört ortam sağlamak amacıyla %99 saflikta argon gazı kullanılmıştır.

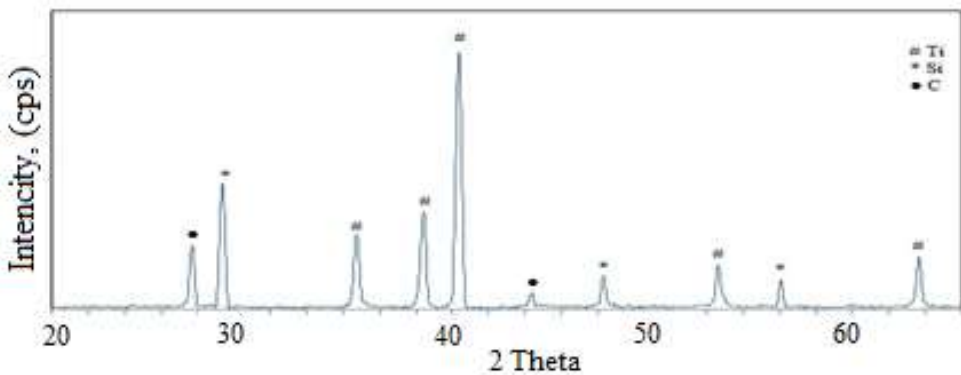
#### 4. BULGULAR VE TARTIŞMA (FINDINGS AND DISCUSSION)

Bu çalışmada başlangıç tozları olarak Ti, Si ve karbon kullanılmıştır. Tozlar stiokiometrik oranlarda hazırlanmıştır. Öğütme öncesi karışımın SEM görüntülerini Şekil 3'de verilmiştir. Şekilden de görüleceği gibi resim kontrasına bağlı olarak, üç farklı tane görülebilmektedir.



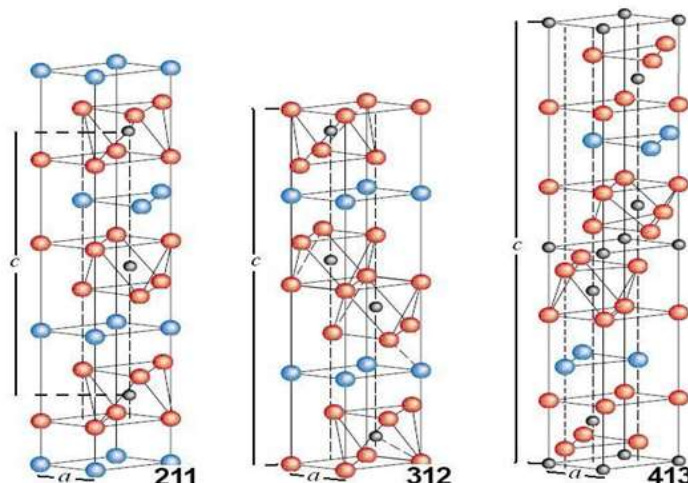
Şekil 3. Öğütme öncesi başlangıç tozlarının SEM görüntüsü  
(Figur 3. SEM image of initial powders before grinding)

Hazırlanan karışım, sinterleme öncesi, X-işinları analizine tabii tutulmuş, elde edilen XRD deseni Şekil 4'de verilmiştir. Var olan tüm piklerin hangi faza ait olduğu belirlenmiş ve etiketlenmiştir. Tespit edilen fazlar kullanılan Ti, Si ve grafiten aittir ve ortamda kirlenmeye bağlı bir faz tespit edilmemiştir.



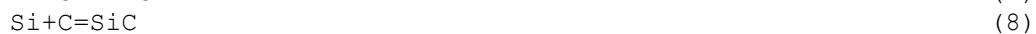
Şekil 4. Başlangıç karışımının XRD deseni  
(Figure 4. XRD pattern of starting mixture)

Geleneksel seramik malzemeler ile kıyaslandığı zaman, MAX fazlı malzemeler yeni nesil seramikler olarak tanımlanmaktadır. Bu malzemelerin reaksiyon mekanizmalarının anlaşılabilmesi için farklı üretim yöntemleri ve tozları kullanılarak çalışmalar devam etmektedir. Şekil 5'de görüldüğü gibi 312 TiSiC fazi, kenar paylaşımı çiftli TiC ve katmanlı hekzagonal kristal yapısına sahiptir. TiC çiftini, Si blok katmanları ayırmaktadır. Başlangıç karışımlarına bağlı olarak, ideal MAX fazı oluşumu, oktaedral TiC kristal yapısı üzerinde oluşmaktadır.

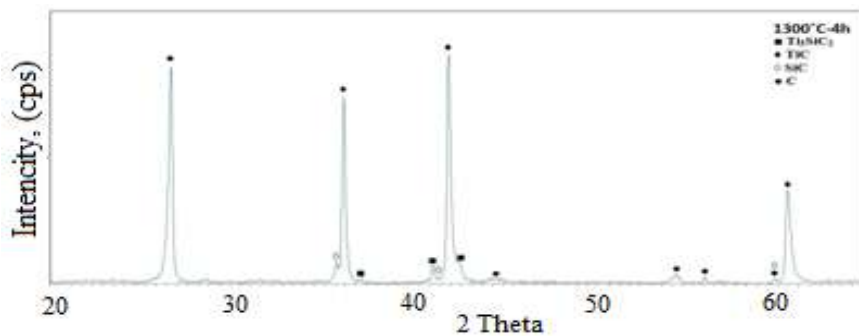


Şekil 5. MAX fazlı malzemelerin kafes yapıları (M kırmızı; A mavi ve X siyah)  
(Figure 5. Cage structures of MAX-phase materials (M red, A blue and X black))

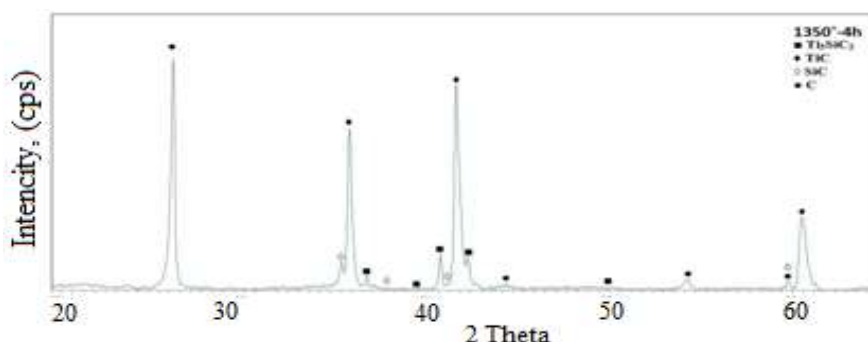
Hazırlanan karışımlar basınçsız sinterleme işlemine tabi tutulmuştur. Deneysel şartlar altında, kullanılan metalik tozların katı-katı reaksiyon davranışının gösterdiği kabul edilmektedir. Ti-Si-C faz diyagramına göre, sıvı faz oluşumu yaklaşık 1500°C'nin üzerindeki sıcaklıklarda gerçekleşmektedir. Fakat deneysel şartlarda silisyumun ergime derecesine bağlı olarak, yüksek sıcaklıklarda yapılan sinterleme prosesinde kısmi olarak sıvı faz oluşumu varsayılmaktadır. Ortamda bulunan tozların genel reaksiyondan farklı olarak birden fazla reaksiyon oluşabilmektedir.



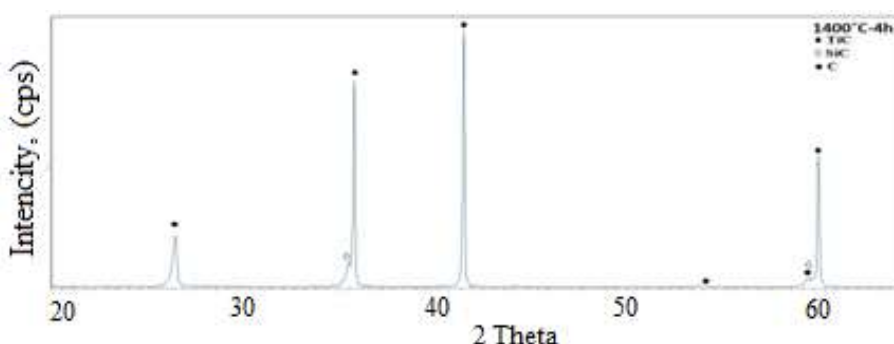
Özellikle 6, 8 ve 11 nolu reaksiyonların termodinamik olarak kararlı ve serbest enerjileri çok büyük olduğu bilinmektedir. Farklı sıcaklık ve sürelerde sinterlenmiş numunelerin X-ışınları analizleri, Şekil 6-9'de ve Tablo 3'de verilmiştir. Elde edilen fazlar incelendiğinde, öncelikli olarak reaksiyon 7 göre titanyum ve silisyum reaksiyonu gerçekleşmektedir. Reaksiyon 7 göre farklı ara fazlar oluştuğu tespit edilmiştir. Bu fazlar kararlılık sırası ile TiSi,  $Ti_3Si_2$ ,  $Ti_5Si_3$  gibi fazlardır.  $1300^{\circ}C$  de yapılan sinterleme işlemeye bağlı olarak istenilen fazların oluştuğu görülmüştür. Sıcaklığın yükselmesine bağlı olarak silisyum karbür ve titanyum karbür fazları tespit edilmiştir. Deneysel şartlar ve u başlangıç tozlarına kullanılmasına bağlı olarak  $1350^{\circ}C$  ve 4 s. sinterleme süresinde MAX fazı oluşumu optimum şartlar olduğu tespit edilmiştir.



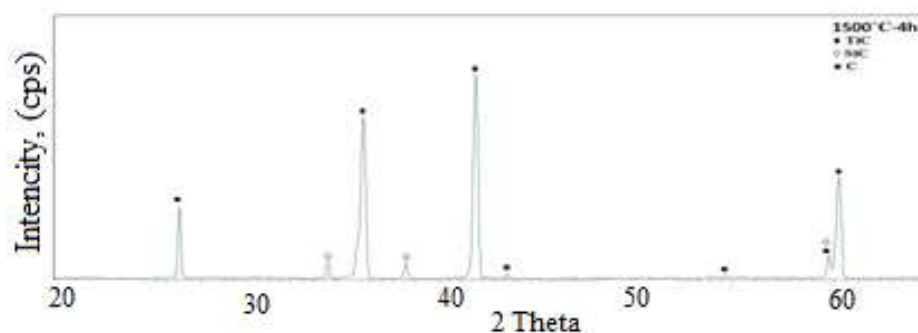
Şekil 6.  $1300^{\circ}C$ 'de 4 saat süreyle sinterlenmiş numunenin XRD deseni  
 (Figure 6. The XRD pattern of the sintered sample at  $1300^{\circ}C$  for 4 hours)



Şekil 7.  $1350^{\circ}C$  4 saat süreyle sinterlenmiş numunenin XRD deseni  
 (Figure 7. The XRD pattern of the sintered sample at  $1350^{\circ}C$  for 4 hours)



Şekil 8.  $1400^{\circ}C$  4 saat süreyle sinterlenmiş numunenin XRD deseni  
 (Figure 8. The XRD pattern of the sintered sample at  $1400^{\circ}C$  for 4 hours)



Şekil 9.  $1500^{\circ}\text{C}$  4 saat süreyle sinterlenmiş numunenin XRD deseni  
(Figure 9. The XRD pattern of the sintered sample at  $1500^{\circ}\text{C}$  for 4 hours)

Tablo 3. Sinterlenmiş ürünlerde tespit edilen fazlar  
(Table 3. The phases detected in sintered products)

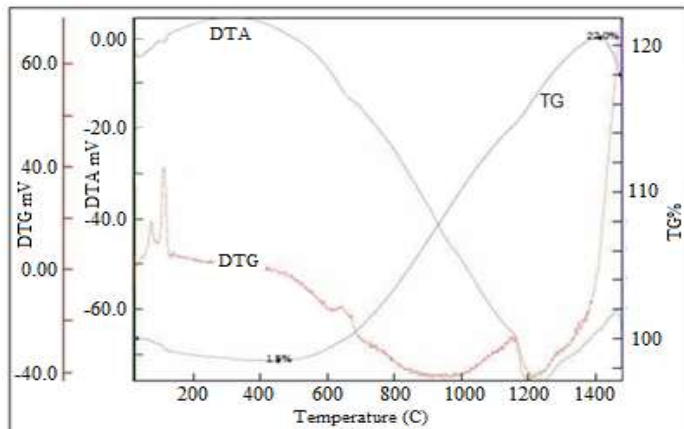
Sıcaklık ( $^{\circ}\text{C}$ )	Sinterleme Süresi (s.)	Belirlenmiş Fazlar
1300	2	C, $\text{TiSi}$ , $\text{TiC}$ , $\text{SiC}$ , $\text{Ti}_3\text{SiC}_2$
	4	C, $\text{TiSi}$ , $\text{TiC}$ , $\text{SiC}$ , $\text{Ti}_3\text{SiC}_2$
1350	4	C, $\text{TiC}$ , $\text{SiC}$ , $\text{Ti}_3\text{SiC}_2$
1400	2	C, $\text{TiC}$ , $\text{SiC}$
	4	C, $\text{TiC}$ , $\text{SiC}$
1450	4	C, $\text{TiC}$ , $\text{SiC}$
1500	2	C, $\text{TiC}$ , $\text{SiC}$
	4	C, $\text{TiC}$ , $\text{SiC}$

Karşılaştırmadan kolay yapılabilmesi amacıyla nihai ürünlerin fazları Tablo 3'de verilmiştir. Metalik tozların kullanılmasına bağlı olarak, deneyel sonuçlardan elde edilen verilere göre, 312 MAX fazı oluşum mekanizması üç aşamada değerlendirilmiştir;

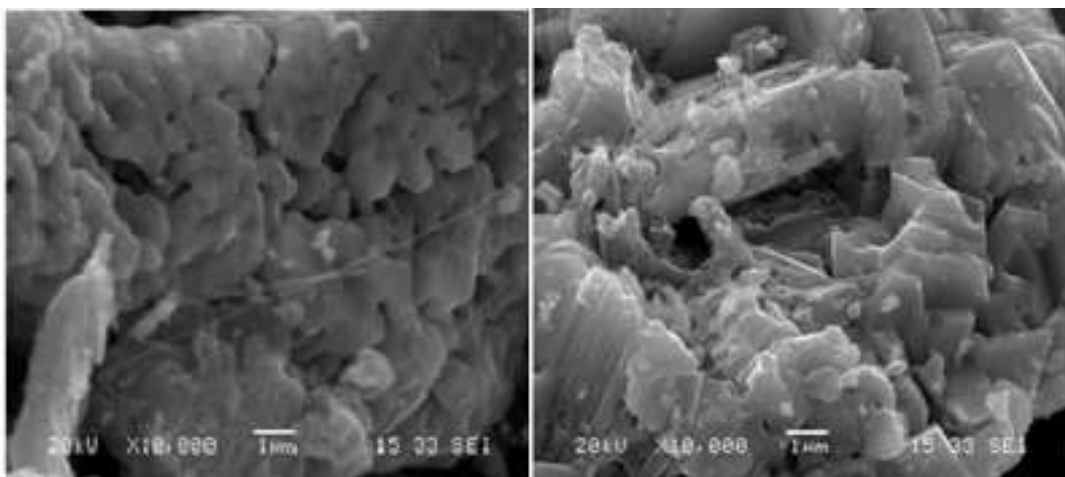
- İkili Ara Fazlarının Oluşumu:** Karışımında kullanılan kimyasal kompozisyonla bağlı olarak ortamda bulunan metalik Ti ve Si reaksiyona girerek iki Ti-Si fazları oluşmaktadır. Bu fazlar  $\text{TiSi}$ ,  $\text{Ti}_3\text{Si}_2$ ,  $\text{Ti}_5\text{Si}_3$  olduğu tespit edilmiştir,
- Karbür Fazlarının Oluşumu:** Birinci aşamada oluşan fazlar, sinterleme süre ve sıcaklığına bağlı olarak daha kararlı olan  $\text{SiC}$ ,  $\text{TiC}$  ve  $\text{TiSiCx}$  fazlarına dönüşmektedir.
- MAX Fazı Oluşumu:** Oluşan karbürlerin katmanlı yapıya dönüşmesi ve büyümesi bu aşamada gerçekleşmektedir. Deneyel şartlarda,  $1400^{\circ}\text{C}$  altında istenilen fazların oluşumu gerçekleşmiştir.

Karışımın termal davranışını görmek amacıyla TG/DTA analizi yapılmış ve elde edilen eğriler Şekil 10'de verilmiştir. Termogravimetrik analiz, reaksiyonların sıcaklığa bağlı olarak kütlesinde olabilecek değişimleri vermektedir. Karışımın TG eğrisinden de (Şekil 10) görüldüğü gibi,  $25-1450^{\circ}\text{C}$  sıcaklık aralığında, toplam olarak %20'lik bir kütle artışı meydana gelmiştir. Kullanılan başlangıç tozları oksijene karşı reaktif metalik tozlardır. Düşük sıcaklıklarda meydana gelen kütle azalmasının karışımda bulunan nem rutubete bağlı olarak gerçekleşen kütle azalmasının sonucu oluşturduğu düşünülmüştür. Bu tozlar, öğütme ve homojen karışım hazırlama aşamasında ortamdan gaz adsorbsiyonu maruz kaldığı, bu durumun TG eğrisinde yaklaşıklar olarak  $400^{\circ}\text{C}$  kadar kütle kabı olarak görülmektedir.  $500^{\circ}\text{C}$  den sonra, karışımın kütlesindeki artış  $1450^{\circ}\text{C}$  kadar devam ettiği görülmektedir. Özellikle  $1200^{\circ}\text{C}$  den sonra gerçekleşen kütle artışının istenilen faz oluşumuna bağlı olarak oluşturduğu düşünülmektedir. Karışımında olabilecek endotermik veya ekzotermik reaksiyonlar, DTA eğrisi ile tespit

edilebilmektedir. Elde edilen DTA eğrisinde iki adet endotermik pik tespit edilmiştir. Birinci pik yaklaşık olarak  $180^{\circ}\text{C}$ 'nin altında oluşmuş küçük bir endotermik reaksiyonu işaret etmektedir. Oluşan bu reaksiyonun, ortamdan uzaklaşan nem rutubet ve suya bağlı olarak gerçekleştiği tahmin edilmektedir. En belirgin ve en büyük endotermik pik, eğri üzerinde  $1250^{\circ}\text{C}$ 'de tespit edilmiştir. Bu pikin MAX fazı oluşumu için gerekli en düşük sıcaklığı ifade ettiği düşünülmektedir.



Şekil 10. Başlangıç karışımının TG/DTA analizi  
(Figure 10. )



Şekil 11. Elde edilmiş 312 TiSiC fazlı yapının sem görüntülerini  
(Figure 11. )

Ti-Si-C başlangıç tozlarının sinterlenmesi sonucu elde edilen ürünlerin, mikro yapı ve morfolojisi taramalı elektron mikroskopu (SEM) ile incelenmiş ve elde edilen görüntüler Şekil 11'de verilmiştir. Şekil 11'den de görüleceği gibi oluşan yapı katmanlı ve bir kaç mikron boyutlarında olduğu anlaşılmaktadır.

#### **4. SONUÇ VE ÖNERİLER (CONCLUSION AND RECOMMENDATIONS)**

Çalışmalarda elde edilen en ilginç sonuç,  $1400^{\circ}\text{C}$  ve daha yüksek sıcaklıklarda  $\text{Ti}_3\text{SiC}_2$  MAX fazının tespit edilememesidir. Geleneksel olarak, oluşan fazların reaksiyon süre ve sıcaklığına bağlı olarak artış gösterdiği bilinmesine rağmen elde edilen veriler tersini göstermektedir. Bu sonucun deneysel çalışmalarda kullanılan pota ile ilişkili oluşu düşünülmektedir. Çalışmalarda grafit pota



kullanılmıştır. Bu durumun, ortamda gereğinden fazla karbon bulunmasından ya da pota içindeki ham kompaktların, grafit pota yüzeyi ile temas etmesi ve özellikle 1400°C ve üzerindeki sıcaklıklarda ortadaki silisyumun sıvı hale geçerek pota yüzeyindeki karbonun temas yüzeyini artırması sonucu, düşük sıcaklıklarda oluşmuş olan MAX fazının karbon ile tepkimeye girerek dekompoze olması nedeniyle meydana geldiği düşünülmektedir. Düşük sıcaklıklarda oluşan nano katmanlı MAX fazı yapısı SEM görüntüsü Şekil 11'de verilmiştir. Elde edilen tane boyutunun çok küçük ve yapının katmanlı olduğu açık bir şekilde görülmektedir. SEM görüntülerinin literatürde elde edilen görüntüler ile uyumluluk gösterdiği tespit edilmiştir. İlerleyen çalışmalarında, düşük sıcaklıklar ve daha uzun sinterleme sürelerinde, başlangıçta kullanılan Ti ve Si bileşenlerin tamamen MAX fazına dönüşmesi için optimum koşulların ve termo-mekanik özelliklerinin belirlenmesi amaçlanmaktadır.

#### NOT (NOTICE)

Bu çalışma, 21-23 Eylül 2017 tarihinde Bayburt'ta düzenlenen International Conference on Advanced Engineering Technologies (ICADET) Konferansında sözlü bildiri olarak sunulmuş ve yeniden yapılandırılmıştır.

#### KAYNAKLAR (REFERENCES)

- [1] Noontny, H., (1970). Struktur chemie einiger verbindungen der ubergangs metalle mit den elementen C Si Ge Sn. *Prog Solid State Chem*, vol:2, pp:27-62.
- [2] Noontny, H., Schuster, J.C., Rogl, P., (1982). Structural chemistry of complex carbides and related compounds, *J Solis State Chem*, vol:44, pp:126-133.
- [3] Barsoum, M.W. and El-Raghy, T., (1996). Synthesis and characterization of a remarkable Ceramic:  $Ti_3SiC_2$ . *J Amer Cer Soc*. Vol:79, pp:1953-1956.
- [4] Hu, C., Xhang, H., Li, F., Huang, Q., and Bao, Y., (2013). New phases discovery in MAX family. *Int J Ref Metals Hard Mat*, vol:36, pp:300-312.
- [5] Rodovic, M. and Barsoum, M.W., (2013). Max phases: Bridging the gap between metals and ceramics. *Amer Ceram Soc*, vol:92, no:3, pp:20-27.
- [6] Barsoum, M.W. and El-Raghy, T., (2001). The max phases: unique new carbides and nitride materials. *Amer Scientific*, vol:89, pp:334-343.
- [7] Chen, D., Shirato, K., Barsoum, M.W., El-Raghy, T., and Ritchie, R.O., (2001). Cyclic fatigue-crack growth and fracture properties in  $Ti_3SiC_2$  ceramics at elevated temperatures, *J Amer Ceram Soc* vol:84, no:12, pp:2914-2920.
- [8] Sunberg, M., Malamgvist, G., Magnusson, A., and El-Raghy, T., (2004). Alumina forming high temperature silicides-carbides, *Ceram Inter*, vol:30, pp:899-1904.
- [9] Wang, X. and ark., (2012).  $Ti_5Al_2C_3$ : A new ternary carbide belonging to MAX phases in the Ti-Al-C system. *J Amer Cer Soc*. Vol:95, pp:1508-1510.
- [10] Lin, Z.J., and ark., (2006). Microstructure and theoretical bulk modulus of layered ternary tantalum aluminum carbides, *J Amer Cer Soc*. 89: 3765-376.
- [11] Dubois, S., Cabioch, T., Chartier, P., Gauthier, V., and Jaouen, M., (2007). A new ternary nano laminate carbide:  $Ti_3SnC_2$ . *J Amer Cer Soc*. 90:2642-2644.
- [12] Etzkorn, J., Ade, M., and Hillebrecht, H., (2007).  $V_2AlC$ ,  $V_4AlC_{3-x}$  ( $x \approx 0.31$ ), and  $V_{12}Al_3C_8$ : synthesis, crystal growth, structure, and



- superstructure, Inorganic Chemistry 46: 7646-7653.
- [13] Zhou, Y.C. Meng, F.L., and Zhang, J., (2008). New MAX-phase compounds in the V-Cr-Al-C system. J Amer Cer Soc. 91:1357-1360.
- [14] Etzkorn, J., Ade, M., and Hillebrecht, H., (2007).  $Ta_3AlC_2$  and  $Ta_4AlC_3$ -single-crystal investigations of two new ternary carbides of tantalum synthesized by the molten metal technique'', Inorganic Chemistry 46: 1410-1418.
- [15] Hu, C.F., Li, F.Z., Zhang, J., Wang, J.M., Wang, J.Y., and Zhou, Y.C., (2007).  $Nb_4AlC_3$ : A new compound belonging to the MAX phases, Scripta Materialia, 57:893-896.
- [16] Procopio, A.T., El-Raghy, T., and Barsoum M.W., (2000). Synthesis of  $Ti_4AlN_3$  and phase equilibria in the Ti-Al-N system. Metallurgy and Material Transactions A 1:373-378.
- [17] Raoult, C., Langlais, F., and Naslain, R., (1994). Solid state synthesis and obtain and characterization of the ternary phase  $Ti_3SiC_2$ . J Mat Sci. Vol:29, pp:3384-3394.
- [18] Gulbinski, W., Gilewicz, A., Suszko, T., Warcholinski, B., and Kuklinski, Z., (2004). Ti-Si-C sputter deposited thin film coatings. Surface and Coatings Tech. Vol:180-181, pp:341-346.
- [19] Luo, Y.M., Pan, W., Li, S.Q., and Chen, J., (2002). Synthesis and mechanical properties of in-situ hot-pressed  $Ti_3SiC_2$  poly crystals. Ceram Int. Vol:28, pp:227-230.
- [20] Atasoy, A., (2014). Effect of Al powder addition on the formation of MAX phase. 10th Inter. Conference on the Science of Hard Materials. Cancun-Mexico.
- [21] Atasoy, A. and Saka, E., (2016). Synthesis of the MAX phase of  $Ti_3SiC_2$  ceramic from oxide. 18. Int. Metallurgy and Materials Congress. Istanbul, ss:71-74.
- [22] Atasoy, A. and Saka, E., (2017).  $Ti_3SiC_2$  Max phase from TiC-Si-Ti mixture. 5<sup>th</sup> Int. Symp on Innnv. Techn. in Eng. Scn. Baku University, will be presented.
- [23] Atasoy, A., Saka, E., and Koşar, A., (2017). An investigation on processing of  $Ti_3SiC_2$  Max phase materials from bottom to up under the laboratory conditions: from TiC-Si-C powders. 8. Inter. Advanced Technologies Symposium. Elaziğ-Turkey.
- [24] Atasoy, A. and Koşar, A., (2017). Ti-Si-C MAX phase system. 5<sup>th</sup> Int. Symp on Innnv. Techn. In Eng. Scn. Baku University, will be presented.
- [25] Atasoy, A., (2013). Max fazlı (katmanlı) seramikler. II. Ulusal Ege Kompozit Malzemeler Sempozyumu. Kuşadası-Muğla-Turkey.
- [26] Altuncu, E., Vardar, S., Saka, E. ve Atasoy, A., (2015), MAX fazi alaşımları ve termo-fiziksel özellikkileri. J Aeronautics and Space Tech. 8(1):75-86.